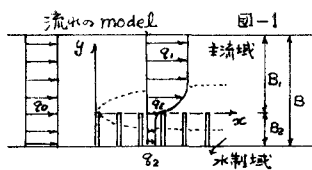


九州大学工学部 正員 植 東一郎

九州大学大学院 学生員 ○田原誠

吉岡邦明

まえがき 図-1のような直線水路に連続越流水制を設置した場合の流れは、水制の始点において流速(単位幅流量)は流れ方向に減少して平衡状態に達する。また横方向には水制域と主流域との間に速度勾配の急激に変化する遷移領域を形成している。本文は、これら、縦、横方向の遷移領域について実験および解析を行ない、直線水路における水制の機能について若干の考察を行なったものである。



[1]. 水制域流量減少効果(流れ方向の考察)

水制の先端に原点をとり流れ方向に x 軸、それに垂直、水平に y 軸をとる。水制のないときの値 $c = 0$ 、主流域、水制域に 1, 2 をつけると、Reynolds 数、 $R_o^2 = g_o^2/g$ は $\ll 1$ の場合には、既に吉川、芦田教授の得られた式³⁾と同一の式が得られる。考察の便のために、解を無次元形で表示すると、

$$\frac{\xi}{\eta} = \frac{g_o}{2} \left[\frac{1 - \frac{g_o}{g_2} \mu}{\frac{g_o}{g_2} \mu - 1} \log_e \left| 1 + \left(\frac{g_o}{g_2} \mu - 1 \right) P_2 \right| - \frac{1 + \frac{g_o}{g_2} \mu}{\frac{g_o}{g_2} \mu + 1} \log_e \left| \left(\frac{g_o}{g_2} \mu + 1 \right) P_2' - 1 \right| \right] \frac{P_2'}{P_{20}} \quad (1)$$

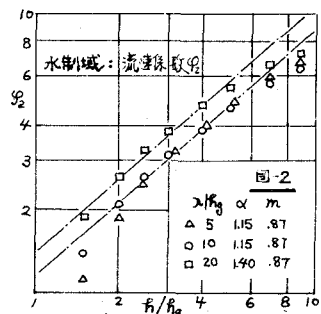
$\xi = x$, $P_2 = g_2/g_o$, $P_2' = g_1/g_o$, $\eta = x/h_o$, $b_1 = B_1/B$, $b_2 = B_2/B$, B_o = 水路幅, B = 水路幅, $\mu = B_1/B$ $/B_2 P_2$, $\alpha = \int_0^{B_1} g dy / g B_1$, $P_2 = \int_{B_2}^0 g dy / g_2 B_2$, $\eta = x/h_o$, $g_o = g_o$: 水制のないときの流速係数, $g_o = g_o/h_o \sqrt{g h_o} I_o$, g_o は、糙粗度実験によると、水制高さ / 水制間隔 = α/h_g および h/h_g の函数(図-2)で、 $g_o = \alpha(h/h_g)^m$ を表わすとき、 $\alpha = 11 \sim 15$, $m = 0.7 \sim 0.9$ の程度である。

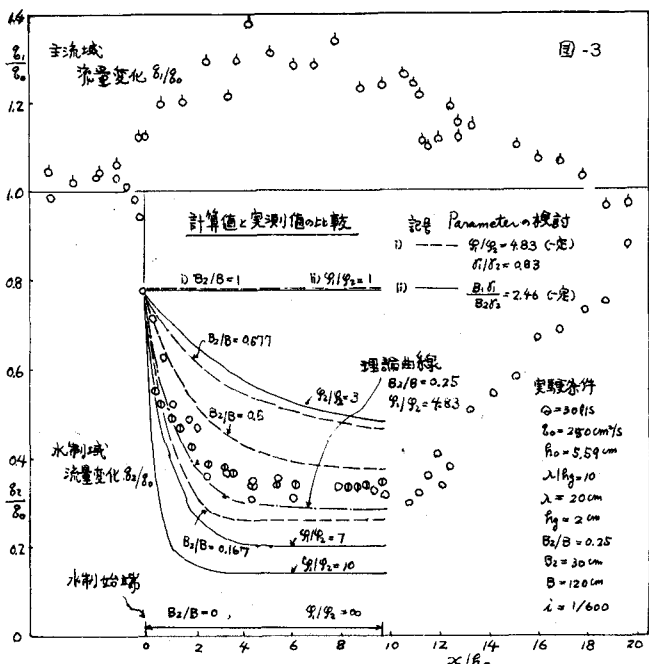
P_2 は、連続の式 $b_1 P_2 + b_2 P_2 = 1$ を用いて、 $P_2' = b_2 B_2 P_2$ に置きかえ積分できます。境界条件として、水制の始点 $\xi = 0$ で、 $P_2' = b_2 P_2 / [b_2 + \alpha \frac{h/h_g}{h/h_g - 1} (1 - b_2)]$ 式と置く。式(1)より、 P_2 は、 g_1/g_o および μ は parameter として、 $\xi = 0$ の P_2' より減少して、 $P_2'_{final} = 1/b_2 P_2 \cdot (1 + \frac{g_o}{g_2} \mu + 1)$ に収斂する。

図-3 は、水制長 6.4m, $B_2/B = 0.25$, $g_1/g_o = 4.83$ の場合について、始点から一様域中にあける主流部、水制部の流量分布および水制域下流の回復状態を示したもので、図中の一点鎖線が計算結果である。また、同図には、 $g_1/g_o = 4.83$ に保ち、 B_2/B を変化させた場合(破線)、および $B_2/B = 0.25$ を保ち g_1/g_o を変化させた場合(実線)の計算結果もある。 B_2/B が減少するほど、 g_1/g_o が増すほど定常状態に達するまでの距離も小さく、且つ定常状態における g_1/g_o の値も小さく、水制に対する流速減の効果が大きいことがわかる。

1) 斎藤、植：水制の機能に関する研究、第22回土木学会講演会

2) 吉川、芦田、坂上、土屋：水制に関する研究、土木研究所報告 107号の6.





[2]. 定常域流量配分（横断方向の考察）

水制圏間が充分長い場合、図-3のように横方向の流速分布は、ほど平衡状態に達する。X方向には、静水圧分布に従うとして、Y方向の運動方程式を河床より水面まで積分すると、平均流速は、つきのようになる。

$$U \frac{\partial U}{\partial X} = g \left(i - \frac{\partial h}{\partial X} \right) + \frac{1}{\rho} \left(\frac{\partial T_{yx}}{\partial Y} - \frac{T_0}{h} \right) \quad (2)$$

ここで、\$i\$ は河床の剪断応力を示す、流速係数 \$\eta_{xy}\$ を用いると、\$T_0/\rho = U^2/g^2\$ 、\$T_{yx} = \eta_{xy} \frac{\partial U}{\partial Y}\$ である。一方流速 \$U_1, U_2, \eta_{xy}, \eta_{xy}\$ を用い

ると、基礎式は、主流域、水制域に対して、つぎのようになる。

$$\frac{U_1^2 - U^2}{C_1 \eta_{xy}^2} + \eta_{xy} \frac{d^2 U}{d Y^2} = 0, \quad \frac{U_2^2 - U^2}{C_2 \eta_{xy}^2} + \eta_{xy} \frac{d^2 U}{d Y^2} = 0. \quad (3)$$

ここで、\$C_1, C_2\$ は等流状態の流れに水制を設置した時の流速が、等流でないための補正項で、\$C_1 = I_{c1}/I = 1 + \frac{(c-1)}{2} \frac{U_1^2}{g h} \approx 1 + (c-1) \eta_{xy}^2, C_2 = I_{c2}/I = 1 + (c-1) \eta_{xy}^2 \approx 1\$ である。上式中の渦動粘性係数 \$\eta_{xy}\$ は、主流、水制域の粗度または流速係数の差異によって発生する乱れによるものであり、この函数形は明確でない。従って、\$\eta_{xy} = k_h u\$ (芦田教授が複断面水路で用いられた仮定)、\$\eta_{xy} = k_h (U_1 - U_2)\$、\$\eta_{xy} = l^2 dU/dY\$ (prandtlの仮定) の3つの仮定を採用し、実験結果と照合することとした。その結果、\$\eta_{xy} = k_h u\$ の表示が実験結果の比較に適当であり、また、渦動粘性係数の物理的な意味も最も明確であるので、以下この場合のみを述べる。

境界条件として、\$Y=0\$ で \$U=U_1, Y=B_1, -B_2\$ で、\$U_1, U_2\$ を入れて積分し、水深は、Y方向には一定であるから、流量 \$B = \rho U\$ を用いて表わすと、

$$\frac{B_1}{B_0} = \sqrt{1 - \left[1 - \left(\frac{B_1}{B_0} \right)^2 \right] \frac{\sinh K_1 B_2 (1 + Y/B_2)}{\sinh K_1 B_2}}, \quad \frac{B_2}{B_0} = \sqrt{1 + \left[\left(\frac{B_2}{B_0} \right)^2 - 1 \right] \frac{\sinh K_2 B_2 (1 + Y/B_2)}{\sinh K_2 B_2}} \quad (4)$$

$$c = k_h, \quad K_1 = \sqrt{\frac{2}{C_1 k_h}} \frac{1}{\rho g}, \quad K_2 = \sqrt{\frac{2}{C_2 k_h}} \frac{1}{\rho g} \quad (5)$$

で、流量分布の形状係数である。

なお、一極域の流量比 \$B_1/B_0\$ は、式(3)で \$dU/dY=0\$ と、\$U_1, U_2\$ をなることから、

$$\frac{B_1}{B_2} = \sqrt{\frac{C_1}{C_2} \frac{\eta_{xy}}{\eta_{xy}}} \quad (6)$$

\$U = \sqrt{\frac{C_1}{C_2} \frac{\eta_{xy}}{\eta_{xy}}}\$ とおいて plot すると、図-4のように上の関係は、ほど満足されている。

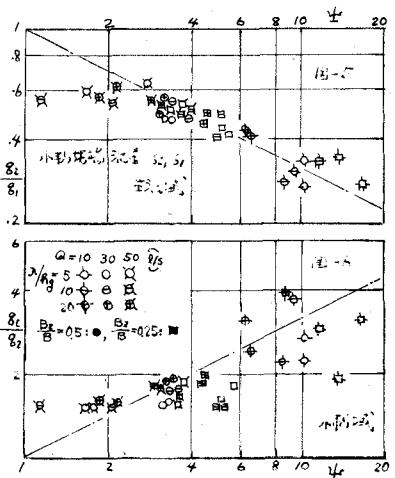
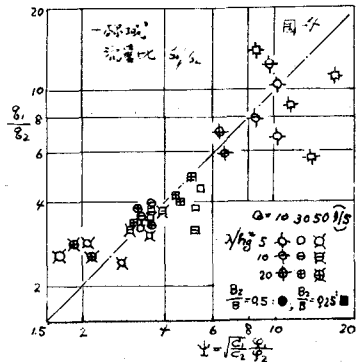
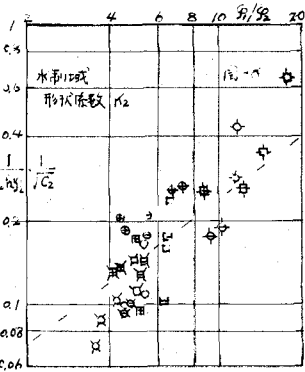
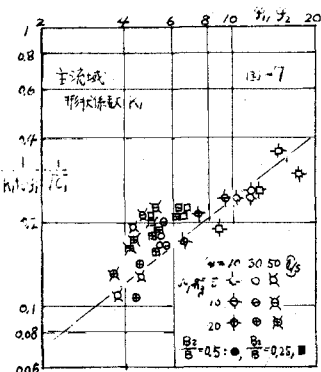
水制先端の流量 g_1 に対する式(4)の両式に対しても、 Stress
 $\gamma_{xy} \frac{\partial u}{\partial y} |_{y=0}$ が零の条件を入れると、

$$\frac{g_1^2 - g_2^2}{g_2^2 - g_1^2} = \sqrt{\frac{K_2}{K_1}} \tanh K_2 B_2 \quad (7)$$

同様に実測値と Ψ に対して plot すると、 $K_1 B_1, K_2 B_2 > 2$ であるから
 $\tanh K_1 B_1 = \tanh K_2 B_2 \approx 1$ を用いれば、粗い近似として、 $K_1 \approx K_2 =$
 K とおける。このとき式(6)を用いて、境界流量 g_1 は、次式
のようす形に帰着する。

$$\frac{g_1}{g_2} = \sqrt{\frac{1}{4}}, \quad \frac{g_1}{g_2} = \sqrt{\frac{1}{2}}. \quad (8)$$

図-5, 6 は、 Ψ に対して 同様に plot したもので、ほぼ満足されることがわかる。



つきに、形状係数 K_1, K_2 は、式(4)および実測の流量分布からある y に対する Ψ の実測値を用いて逆算することができる。これららの値を用いて、 $1/\sqrt{C_1} K_1 R_1 g_1 = \sqrt{R_1}/2, 1/\sqrt{C_2} K_2 R_2 g_2 = \sqrt{R_2}/2$ と Lateral 方向の流量分布を発生させる要因である R_1/R_2 に対して plot したものが、図-7, 8 である。Vertical 方向の渦動粘性係数は、 $\eta_{xz} = \frac{K}{C} U_x R_0 = \frac{1}{15} \frac{K}{C} h_{xz}$ と等しく、この実験では、 $R_1 = 18.4$ であるから、 $R_1/R_2 = 1$ と $\frac{1}{15} \frac{K}{C} = 0.0426$ を通る指數形を仮定すると、 $K = \frac{1}{15} \frac{C}{K} (R_1/R_2)^n, n = 0.75$ を表示される。なお、これから、遷移領域にみられる観察を速度勾配は、 R_1/R_2 の差異によって発生し、横方向の渦動粘性係数は、鉛直方向のものの $(R_1/R_2)^n$ 倍であることが推定される。上の K を用いると、 K_1, K_2 は、

$$K_1 B_1 = \sqrt{\frac{30 R_1}{C_1}} \frac{1}{R_1} \left(\frac{R_1}{R_2} \right)^n \frac{B_1}{R_1}, \quad K_2 B_2 = \sqrt{\frac{30 R_2}{C_2}} \frac{1}{R_2} \left(\frac{R_1}{R_2} \right)^n \frac{B_2}{R_2}. \quad (9)$$

流量分布式(5)において、 $K_i B_i \gg 1$ ($i=1, 2$) の場合には、 $\sinh K_i B_i (1 - y_i/B_i) / \sinh K_i B_i \approx e^{-K_i y_i}$ ($y > 0$)、 \approx が近似できる。この時の表示と、連続の式 $\int_{y_1}^{y_2} \bar{g} dy + \int_{y_2}^{y_3} \bar{g} dy = g_1 (B_1 + B_2)$ 、 $l =$ 代入 L 、積分、式(6)から $g_1/g_2 = \Psi$ 、式(10)から $K_2 = \Psi K_1$ を用いて整理すれば、小弱引斜 - 階域の流量配分は、次式、

$$\frac{g_2}{g_1} = 1 / \left[\frac{1}{K_1 B_1} \left\{ \frac{2}{\Psi} (\sqrt{\Psi} - 1 + \log \frac{2}{\sqrt{\Psi} + 1}) + 2\Psi \left(\sqrt{\frac{1}{\Psi}} - 1 + \log \frac{2}{\sqrt{\frac{1}{\Psi}} + 1} \right) \right\} + \Psi + (1 - \Psi) \frac{B_2}{B_1} \right] \quad (10)$$

のようになる。これは、 $K_1 B_1, \Psi$ を parameter とする g_2/g_1 の B_2/B_1 に対する式である。更に、

式(4), (10) を組み合わせると、流量配分 $8/8_0$ が求まる。これを、水制始端から $4.4m (x/h_0 = 78.8)$ の場合について、実験結果と比較したもののが、図-9である。

なお、 $\eta_{xy} = k \ln (D_1 - D_2)$, $D_{xy} = l^2 dH/dy$ は、この順に遷移領域の幅として過小の値を与える。

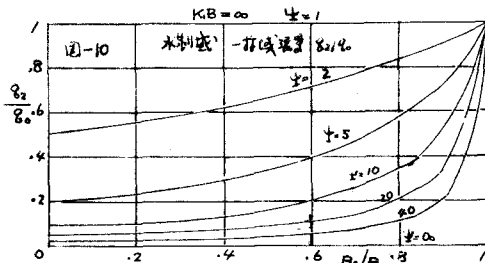


図-10は、 $K_2B_2 = \infty$ の場合について、 α を parameter として、 $8_2/8_0$ と B_2/B の関係を示したものである。この結果は、遷移領域を無視した図-3の場合と同様であって、 B_2/B が減る程、 α が増加する程 $8_2/8_0$ は、減少することを示している。従って、直線水路に設ける連続水制の流速減殺効果は、 $\alpha = 8_1/8_2$ が大きい程著しい。 8_1 は、原河床の粗度であり、 8_2 は、図-2 に示すように、入射水頭および水頭比の函数であるが、 $h_1/h_0 = 5, 10$ では、殆んど一致し、 $\lambda/h_0 = 20$ でも大きな差異はなく、工費および h_1/h_0 との関連において、 λ/h_0 は決められるものと考えられる。

また、 B_2/B は上の考察では小さい方が望ましいが、図-11 には限界が存在して、式(5)から、 $8/8_2$ を $\alpha = 5$ の場合について、 y/B_2 の函数として計算した結果が、図-11 である。 α の値には無関係に $K_2B_2 \geq 5$ では、側壁付近に一帯流量 8_2 の部分が存在するが、 K_2B_2 が小さくなると、主流域よりの流れのまわりこみが著しくなる。従って、実用上では $K_2B_2 = 5$ を限界とすると、例えば、限界は次式

$$K_2B_2 = 2.6 \left(\frac{h_1}{h_0} \right)^{0.22} \frac{B_2}{\lambda} = 5 \quad (11)$$

のようになり、水制長は水深および h_1/h_0 との関連において適当な長さが決める。なお、水制の高さおよび配置は、先端の洗掘や浮流砂の捕捉作用とも考慮してきめられるべきであるが、これら移動床については、現在実験中である。

